

01; 04; 09

**НЕЛИНЕЙНАЯ ТЕОРИЯ  
АНОМАЛЬНОГО ПРОНИКНОВЕНИЯ  
ЭЛЕКТРОМАГНИТНОГО ПОЛЯ  
В НЕИЗОТЕРМИЧЕСКУЮ ПЛАЗМУ**

*K. H. Овчинников, B. P. Силин, C. A. Урюпин*

Развита нелинейная теория проникновения в плазму квазистационарного электромагнитного поля,ющего возбуждать ионно-звуковую турбулентность. В пределе малых и больших турбулентных чисел Кнудсена найдена пространственная и временная структура электрического и магнитного полей в плазме. Установлена явная зависимость эффективной глубины проникновения поля от параметров плазмы и напряженности приложенного электрического поля. На нескольких примерах показано качественное соответствие выводов теории экспериментальным результатам.

Явление аномально быстрого проникновения сильного квазистационарного электромагнитного поля в неизотермическую плазму наблюдалось во многих экспериментах (см., например, работы [1-13]). Основной физической причиной аномального проникновения поля в этих экспериментах называлась ионно-звуковая турбулентность (ИЗТ). Развиваясь в условиях, когда электромагнитное поле вызывает дрейф электронов относительно ионов со скоростью, большей фазовой скорости ионно-звуковых волн, ИЗТ приводит к эффективной частоте рассеяния электронов, значительно превышающей частоту электрон-ионных столкновений. Возникающее при этом уменьшение проводимости обуславливает более эффективное проникновение поля в плазму. Описанная здесь в общих чертах простейшая картина аномального проникновения поля оказывается, однако, в ее общей постановке малодоступной для теоретического описания. Последнее обусловлено тем, что в такой общей постановке одновременно с решением уравнений Максвелла для поля необходимо решать сложные нелинейные кинетические уравнения для ионно-звуковых волн и частиц плазмы. В связи с этим в первых теоретических работах, посвященных этому вопросу, использовались сравнительно простые модельные представления о проводимости плазмы с ИЗТ. Два модельных способа описания аномального проникновения поля предложены в работе Эдлэма и Холмса [1]. Первый способ сводится к предположению, использовавшемуся в [14] при определении глубины скин-слоя высокочастотного поля, о том, что аномальная проводимость плазмы является константой. Второй способ, применяющийся позднее в работе [15] при описании турбулентного нагрева плазмы в больших токамаках, состоит в учете изменения плотности тока во времени вследствие турбулентного джоулева нагрева электронов. Третий способ описания предложили авторы [16], приняв при определении глубины проникновения сильного высокочастотного поля в плазму с ИЗТ предположение о постоянстве плотности тока. Как показывает развитая в последние годы последовательная аналитическая теория квазистационарного спектра ИЗТ и аномального переноса [17], использовавшиеся в работах [1, 14-16] предположения, строго говоря, не выполняются. Действительно, полученные в теории [17] выражения для эффективной проводимости и плотности тока сами являются функциями напряженности электрического поля, проникающего в плазму. По этой причине изменение тока во времени не сводится к обусловленному турбулентным нагре-

вом электронов [1, 15], а определяется прежде всего изменением во времени напряженности электрического поля в плазме. В связи с этим выводы работ [1, 14–16] требуют пересмотра, основывающегося на последних достижениях теории ИЗТ [17]. Задача такого пересмотра решается в настоящей работе на основе уравнений для поля в плазме с ИЗТ, полученных в работе [18]. Такие уравнения учитывают явную зависимость плотности тока от напряженности электрического поля, полученную в приближении локальной во времени и пространстве связи между током и полем. Ниже уравнения для поля решены в качественно различных режимах малых и больших турбулентных чисел Кнудсена. Найдена пространственная и временная структура электрического и магнитного полей в плазме. Установлена зависимость глубины проникновения поля в плазму от времени. Проведено сравнение полученных зависимостей с экспериментальными данными работ [4, 5, 7, 8, 13].

Рассмотрим задачу о проникновении квазистационарного электромагнитного поля вида  $E = (0, 0, E)$ ,  $B = (0, B, 0)$ ,ющего возбуждать ионно-звуковую неустойчивость в глубь неизотермической плазмы, занимающей полупространство  $x > 0$ . Рассматривая проникновение квазистационарного поля, как обычно (см., например, [1, 12–16, 18]), примем, что

$$\frac{\omega_{Le}^2}{v_{eff}} \gg \left| \frac{\partial}{\partial t} \ln |E| \right|, \quad (1)$$

где  $\omega_{Le}$  и  $v_{eff}$  — ленгмюровская и эффективная частота столкновений электронов.

В условиях неравенства (1) в уравнениях Максвелла можно пренебречь током смещения. При этом для определения полей  $B = B(x, t)$ ,  $E = E(x, t)$  имеем уравнения

$$\frac{\partial B}{\partial x} = \frac{\omega_{Le}^2}{cv_{eff}} E, \quad (2)$$

$$\frac{\partial E}{\partial x} = \frac{1}{c} \frac{\partial B}{\partial t}, \quad (3)$$

где  $c$  — скорость света.

Для удобства изложения уравнения (2) и (3) перепишем в виде одного уравнения для электрического поля

$$\frac{c^2}{\omega_{Le}^2} \frac{\partial^2 E}{\partial x^2} = \frac{\partial}{\partial t} \left( \frac{E}{v_{eff}} \right). \quad (4)$$

Описываемые уравнением (4) закономерности распространения поля зависят от вида эффективной частоты столкновений электронов  $v_{eff}$ , которая в плазме с ИЗТ сама является функцией электрического поля. Функциональная зависимость  $v_{eff}$  от  $E$  определяется величиной турбулентного числа Кнудсена, равного [17]

$$K_N = \frac{6\pi e E r_{D_i}}{m_e v_s \omega_{Li} r_{De}^2}. \quad (5)$$

Здесь  $e$ ,  $m_e$  — заряд и масса электрона,  $v_s = \omega_{Li} r_{De}$ ,  $\omega_{Li}$  — ленгмюровская частота ионов,  $r_{D_i(e)}$  — дебаевский радиус ионов (электронов).

Сначала обсудим случай малых турбулентных чисел Кнудсена, когда  $K_N \ll \ll (1 + \gamma_i/\gamma_e)^2$ , где  $\gamma_{i(e)}$  — декремент черенковского затухания звука на ионах (электронах). При этом будем предполагать малым отношение  $\gamma_i/\gamma_e \ll 1$ , что позволяет не учитывать влияние на проводимость плазмы [17] затухания звука на резонансных ионах. Тогда, следуя работе [18], для  $v_{eff}$  имеем интерполяционную формулу вида

$$v_{eff} = v_{ei} + \frac{eE}{m_e v_s} \left( a - \frac{b}{\ln K_N} \right)^{-1}, \quad (6)$$

где  $v_{ei} = (4\sqrt{2\pi}/3)e^2 e_i^2 n_i \Lambda / m_e^2 v_{Te}^3$ ,  $e_i$  и  $n_i$  — заряд и плотность ионов,  $\Lambda$  — кулоновский логарифм,  $v_{Te}$  — тепловая скорость электронов,  $a = 3(1 - \beta')/2 + 16\beta'/\pi = 2.1$ ,  $\beta' = 1/8 + (16/\pi - 3/2)C_B \ln 2 = 0.28$ ,  $C_B = 0.076$ .

Формула (6) обеспечивает переход выражения для проводимости  $\sigma_{\text{eff}} = e^2 n_e / m_e v_{\text{eff}}$ , где  $n_e$  — плотность электронов, в известные формулы классической кинетической теории при  $E \rightarrow 0$  и теории аномального переноса при  $v_{\text{eff}} \rightarrow 0$ . Переходя к решению уравнения (4) в условиях соотношения (6), запишем уравнение (4) в безразмерных переменных  $y = x\omega_{Le}/c$ ,  $\tau = r_{De}^2 \omega_{Li} t / 963 r_{De}^3$ , в виде

$$\frac{16}{\pi} \Im K_N(0) \frac{\partial^2 F}{\partial y^2} = \frac{\partial}{\partial \tau} \left[ \frac{F}{p^{-1} + F \left( a - \frac{b}{\ln FK_N(0)} \right)^{-1}} \right], \quad (7)$$

где  $\beta = 0.28$ ,  $p = eE(0)/m_e v_s v_{\text{eff}}$  — надпороговость на границе плазмы,  $R = F(y, \tau) = E(cy/\omega_{Le}, 963r_{De}^2 \tau / \omega_{Li} r_{De}^3) / E(0) \equiv K_N K_A(0)$ ,  $K_N(0)$  и  $E(0)$  — значения турбулентного числа Кнудсена и электрического поля на границе плазмы.

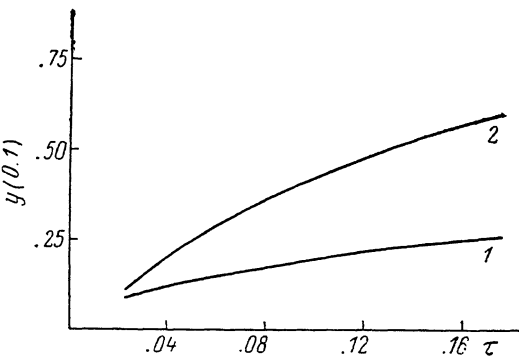
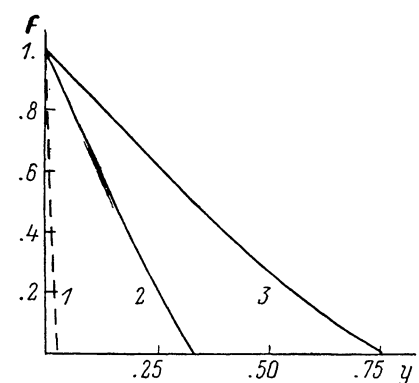


Рис. 1. Зависимость безмерного электрического поля  $F$  от координаты  $y$  в момент  $\tau=0.18$ , полученная при  $f_0=1.4 \cdot 10^{-4}$  для трех значений  $K_N(0)$ .

Рис. 2. Зависимость глубины проникновения поля, отсчитанной по уровню  $F=0.1$ , от времени  $\tau$ , полученная при  $f_0=1.4 \cdot 10^{-4}$  для двух значений  $K_N(0)$ .  
 $K_N(0): 1 - 0.01, 2 - 0.1.$

Найдем решение уравнения (7), отвечающее начальному условию  $F(y > 0, \tau=0)=0$  и граничным условиям  $F(y \rightarrow \infty, \tau)=0$ ,  $F(y=0, \tau > 0)=1$ . Условие  $F(y=0, \tau > 0)=1$  означает, что поле на границе плазмы задано  $E(x=0, t > 0)=E(0)=\text{const}$ . На рис. 1 приведены численные решения уравнения (7), полученные при  $f_0=16\beta K_N(0)/\pi p=1.4 \cdot 10^{-4}$  для трех значений турбулентного числа Кнудсена. Кривая 1 на рис. 1, отвечающая  $K_N(0)=10^{-5}$  ( $p=0.1$ ), описывает процесс распространения поля в условиях, когда ИЗТ практически не влияет на эффективную частоту столкновений электронов  $v_{\text{eff}}$  (6). Для  $p=0.1$ , пренебрегая рассеянием электронов на пульсациях ИЗТ, находим приближенное решение уравнения (7) в виде

$$F = 1 - \operatorname{erf}(y/\sqrt{4f_0\tau}); \quad (8)$$

где  $\operatorname{erf}(x) = (2/\sqrt{\pi}) \int_0^x dt \exp(-t^2)$ .

Влияние ИЗТ на проникновение поля становится определяющим при  $p \gg 1$ . Кривые 2 и 3 на рис. 1 показывают, как влияет рассеяние электронов на пульсациях ИЗТ на глубину проникновения поля в плазму. Кривая 2 отвечает  $K_N(0)=-0.01$ , а кривая 3 получена при  $K_N(0)=0.1$ . Как видно из рис. 1, увеличение эффективной частоты столкновений электронов, обусловленное увеличением турбулентного числа Кнудсена, ведет к более эффективному проникновению поля в плазму. Наиболее отчетливо это видно из рис. 2, где показана зависимость от времени расстояния, на котором поле достигло значения  $F=0.1$ . Зависимости проникновения поля при  $p \gg 1$ , иллюстрируемые кривыми 2, 3 на рис. 1

и кривыми 1, 2 на рис. 2, могут быть получены из уравнения (7), если принять  $F = g(\xi)$ , где  $\xi = y(32K_N(0)\beta\tau/\pi b)^{-1/2}/\ln K_N^{-1}(0)$  — автомодельная переменная. Тогда для  $g$  имеем уравнение

$$g'' + \xi \frac{\partial}{\partial \xi} \left\{ \frac{\ln^2 K_N(0)}{\left[ \frac{a}{b} - \frac{1}{\ln g K_N(0)} \right]^{-1} + \frac{b}{pg}} \right\} = 0 \quad (9)$$

с граничными условиями  $g(0)=1$ ,  $g(\infty)=0$ . Приближенное решение уравнения (9) в области больших и малых  $\xi$  имеет вид

$$g = C_\infty \int_{\xi}^{\infty} d\xi \exp \left( -\zeta^2 p \frac{\ln^2 K_N(0)}{2b} \right), \quad (10)$$

$$g = 1 - C_1 \xi, \quad (11)$$

где константы  $C_1$  и  $C_\infty$  могут быть найдены из сопоставления с численным решением (рис. 1).

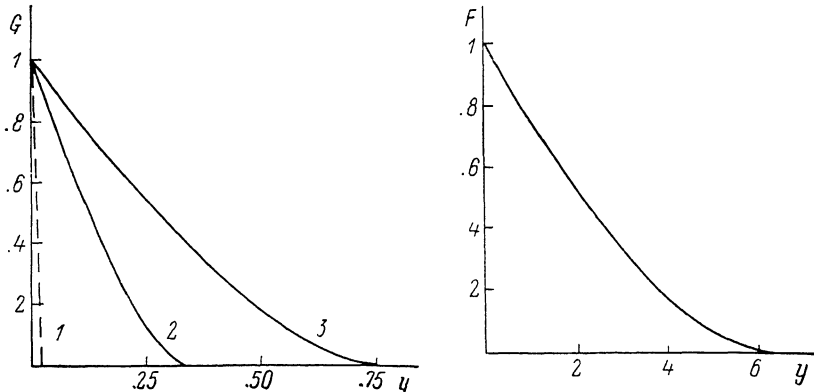


Рис. 3. Зависимость безразмерного магнитного поля  $G$  от координаты  $y$  в момент  $\tau=0.18$ , полученная при  $f_0=1.4 \cdot 10^{-4}$  для трех значений  $K_N(0)$

Значения  $K_N(0)$  те же, что и на рис. 1.

Рис. 4. Зависимость безразмерного электрического поля  $F$  от координаты  $y$  в момент  $\tau=0.1$ , полученная при  $K_N(0)=900$ .

В частности, сопоставляя формулу (11) с зависимостью, описываемой кривой 2 на рис. 1, находим  $C_1 \approx 2.1$ . Согласно формулам (10), (11), размер области в которой в основном сосредоточено поле, зависит от времени, параметров плазмы, напряженности электрического поля на границе плазмы и равен

$$x \leq 1.2 \frac{c}{\omega_{L_e}} \ln \frac{1}{K_N(0)} \sqrt{\frac{eE(0)}{m_e v_s} t} \circ \quad (12)$$

Соотношение (12) хорошо согласуется с оценкой эффективного времени прохождения на расстояние  $x$ , полученной в работе [18] (см. формулу (53) работы [18]).

Используя установленное распределение электрического поля и формулу (6), из уравнения (2) найдем соотношения, описывающие нелинейное пространственно-временное распределение магнитного поля

$$B(y, \tau)/B(0, \tau) = G(y, \tau) \equiv I(y, \tau)/I(0, \tau), \quad (13)$$

$$B(0, \tau) = -\frac{m_e}{e} v_s \omega_{L_e} I(0, \tau), \quad (14)$$

$$I(y, \tau) = \int_y^{\infty} dy' F(y', \tau) \left\{ \frac{1}{p} + F(y', \tau) \left[ a - \frac{b}{\ln K_N(0) F(y', \tau)} \right]^{-1} \right\}^{-1}. \quad (15)$$

Полученные численным интегрированием при  $f_0 = 1.4 \cdot 10^{-4}$  для трех значений турбулентного числа Кнудсена  $K_N(0)$  графики функции  $G(y, \tau)$  приведены на рис. 3 на момент  $\tau = 0.18$ . Для тех же параметров плазмы и при  $\tau = 0.18$  значения  $I(0, \tau = 0.18)$  равны 0.97 при  $K_N(0) = 0.1$ , 0.43 при  $K_N(0) = 0.01$ ,  $p/\sqrt{4f_0\tau/\pi} = 5.7 \cdot 10^{-4}$  при  $K_N(0) = 10^{-5}$ . Так же как при описании электрического поля, приведенные на рис. 3 зависимости могут быть дополнены простыми аналитическими формулами. Например, отвечающая случаю слабого поля ( $K_N(0) = 10^{-5}$ ) кривая  $I$  на рис. 3 хорошо описывается выражением

$$G = \exp(-y^2/4f_0\tau) - y\sqrt{\pi/4f_0\tau} [1 - \operatorname{erf}(y/\sqrt{4f_0\tau})]. \quad (16)$$

В пределе большого превышения порога ионно-звуковой неустойчивости  $p \gg 1$ , используя автомодельное распределение (11) в области основного сосредоточения поля, т. е. при малых  $\xi$ , в соответствии с зависимостью, описываемой кривой 2 на рис. 3, имеем

$$G \simeq 1 - C_1 \xi. \quad (17)$$

При этом функция  $I(0, \tau)$  имеет вид  $I(0, \tau) = (4a/C_1)(2\beta K_N(0) \times \tau/\pi b)^{1/2} \ln K_N^{-1}(0)$ . В области больших  $\xi$  в соответствии с выражением (10) магнитное поле также экспоненциально мало.

Рассмотрим теперь проникновение поля в случае больших турбулентных чисел Кнудсена  $K_N \gg (1 + \gamma_i/\gamma_e)^2$ . В этом случае, согласно работе [17], для  $v_{eff}$  имеем выражение

$$v_{eff} = \frac{\omega_{Li}}{963} \sqrt{K_N} \frac{r_{De}^2}{r_{Di}^2}, \quad (18)$$

справедливое в практически интересном случае  $\sqrt{K_N} \gg f_0 = 96\beta v_{eff} \times r_{De}^2 / \omega_{Li} r_{Di}^2$ . Уравнение (4), дополненное формулой (18), позволяет установить распределение поля при таких  $x > 0$ , для которых число Кнудсена, будучи большим на границе плазмы, по-прежнему превосходит  $(1 + \gamma_i/\gamma_e)^2$ , а также  $f_0^2$ . Такое приближенное рассмотрение оказывается вполне достаточным для определения основной области сосредоточения поля вблизи границы плазмы. Едва ли от границы плазмы, там где  $K_N \ll 1$ , реализуются закономерности проникновения поля, описанные нами выше. Подставляя выражение (18) в уравнение (4), перепишем последнее в безразмерных переменных в виде (ср. (7))

$$\sqrt{K_N(0)} \frac{\partial^2 F}{\partial y^2} = \frac{\partial}{\partial \tau} \sqrt{F}. \quad (19)$$

Численное решение уравнения (19), полученное при  $K_N(0) = 900$ , приведено на рис. 4 на момент времени  $\tau = 0.1$ . Как видно из сравнения рис. 1 и 4, эффективная глубина проникновения поля в пределе больших  $K_N(0)$  оказывается значительно большей, чем при  $K_N(0) \ll 1$ . Зависимость глубины проникновения поля до уровня  $F = 0.01$  от времени иллюстрируется рис. 5. Вводя автомодельную переменную  $\xi' = y/\sqrt{2\tau\sqrt{K_N(0)}}$ , можем записать приближенное решение уравнения (19), справедливое при  $\xi' < 1$ , в виде

$$F = 1 - C_2 \xi'. \quad (20)$$

Сопоставляя формулу (20) с численной зависимостью, приведенной на рис. 4, найдем постоянную  $C_2 \approx 0.6$ . Формула (20) позволяет определить размер области, в которой в основном сосредоточено поле,

$$x \leqslant \frac{c}{\omega_{Le}} \left( \frac{eE(0) r_{De}}{m_e r_{Di}^2} \right)^{1/4} \sqrt{t}. \quad (21)$$

Так же как и выражение (12), выражение (21) согласуется с оценкой времени проникновения поля на расстояние  $x$ , приведенной в работе [18]. Используя соотношение (18) и известное теперь распределение электрического поля, из уравнения (2) найдем магнитное поле по формуле (13), в которой (ср. (14), (15)) функции  $B(0, \tau)$  и  $I(y, \tau)$  имеют вид

$$B(0, \tau) = -\frac{16}{\pi} \beta \frac{m_e}{e} v_s \omega_{Le} \sqrt{K_N(0)} I(0, \tau), \quad (22)$$

$$I(y, \tau) = \int_y^{\infty} dy' \sqrt{F(y', \tau)}. \quad (23)$$

Зависимость функции  $G(y, \tau)$  (13), описывающей распределение магнитного поля, приведена на рис. 6 на момент  $\tau=0.1$ . На этот же момент времени  $I(0, \tau=0.1) \approx 2.9$ .

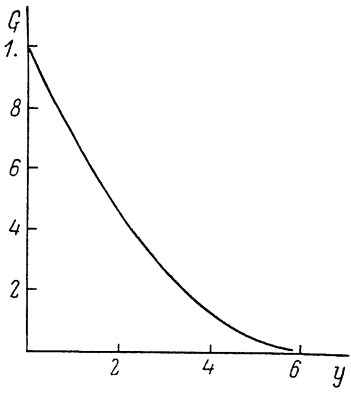
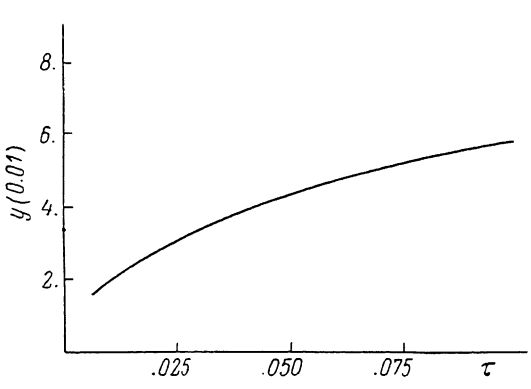


Рис. 5. Зависимость глубины проникновения поля от времени  $\tau$ , полученная при  $K_N(0)=900$ .

Рис. 6. Зависимость безразмерного магнитного поля  $G$  от координаты  $y$ , полученная при  $K_N(0)=900$ .

$=0.1) \approx 2.9$ . Подобно случаю малых чисел Кнудсена в пределе  $K_N(0) \gg 1$ , используя соотношения (20), (23), приближенно имеем

$$G \approx (1 - C_2 \xi')^{3/2}, \quad (24)$$

а также  $I(0, \tau) \approx (8\tau \sqrt{K_N(0)/9C_2^2})^{1/2}$ . Соотношения (20), (24) совместно с приведенными на рис. 4—6 зависимостями позволяют достаточно детально описать пространственно-временную структуру электромагнитного поля в плазме, устанавливающуюся в пределе больших турбулентных чисел Кнудсена.

Обсудим качественно, как соотносятся результаты изложенной выше теории проникновения квазистационарного электромагнитного поля с результатами некоторых экспериментальных работ. Рассмотрим сначала условия, близкие к реализующимся в эксперименте, описанном в работах [4, 5], где использовалась водородная плазма плотностью  $n_e \sim 10^{14} \text{ см}^{-3}$ , заполняющая разрядный промежуток длиной  $L=200 \text{ см}$ . На такую плазму в течение нескольких микросекунд воздействовало напряжение  $V \sim 200 \text{ кВ}$ , приводящее к нагреву электронов до температуры  $T_e \sim 1 \text{ кэВ}$ . Степень неизотермичности в эксперименте, как отмечено в работах [4, 5], могла быть достаточно большой. Далее при оценках примем  $T_e/T_i \sim 5$ , где  $T_i$  — температура ионов. Для таких параметров число Кнудсена  $K_N(5)$  составляет  $K_N \approx 20$ . При  $K_N \gg 1$  глубину проникновения поля в плазму  $l$  можно оценить по формуле (2). Для описанных условий из формулы (21) имеем  $l(t) \approx 10\sqrt{t}$ , где  $t$  измеряется в микросекундах, а  $l(t)$  в сантиметрах. Отсюда, например, при  $t=0.2 \text{ мкс}$  имеем  $l(0.2) \approx 4 \text{ см}$ , что лишь в два раза больше измеренной экспериментально [4, 5] глубины проникновения. Сравнивая полученные

в работах [4, 5] экспериментальные значения глубин проникновения в два различных момента времени  $t=0.2$  и  $0.4$  мкс, имеем:  $l^2(0.2)/l^2(0.4) \approx 0.5 \approx (0.2)/(0.4)$ . Такое соотношение позволяет говорить о соответствии описываемой формулой (21) зависимости  $l$  от  $t$ , наблюдавшейся экспериментально.

Другой экспериментальный результат, приведенный в работе [7], относится к разряду в токамаке, заполненном аргоновой плазмой с плотностью  $n_e \sim 10^{13} \text{ см}^{-3}$ , температурой  $T_e \sim 10^2 - 10^3 \text{ эВ}$ , находящейся в электрическом поле  $E \sim 100 \text{ В/см}$ . Измеренное в эксперименте [7] время проникновения поля на расстояние  $\sim 2 \text{ см}$  не превосходило 5 нс. Принимая при оценках  $T_e \sim 10^2 \text{ эВ}$ ,  $ZT_e/T_i \sim 10$  ( $Z$  — кратность ионизации ионов аргона), что соответствует эксперименту [7], имеем  $K_N \sim 3 \cdot 10^2$ . При  $K_N \gg 1$  в условиях эксперимента [7] из формулы (21) для глубины проникновения поля находим  $l \text{ (см)} \approx 20 \sqrt{t} \text{ (мкс)}$ . В частности, при  $t=50 \text{ нс} = 0.05 \text{ мкс}$  находим  $l \sim 4 \text{ см}$ , что не противоречит эксперименту [7].

Интересные экспериментальные данные приведены в работе [8], где изучался турбулентный нагрев водородной плазмы в токамаке. В этом эксперименте реализовались условия, в которых  $n_e \sim 2 \cdot 10^{12} \text{ см}^{-3}$ ,  $T_e \sim 10^4 \text{ эВ}$ ,  $T_e/T_i \approx 10$ ,  $E \approx 25 \text{ В/см}$ . При этом  $K_N \sim 0.5$ , а формула (12) приобретает вид  $l \text{ (см)} \sim 9 \times \sqrt{t} \text{ (мкс)}$ . В этих условиях характерные длины проникновения поля на измеряемые в микросекундах моменты времени 0.14, 0.23, 0.33, 0.44, 0.48 составляют соответственно 3.4, 4.4, 5.2, 6.0, 6.3. Приведенные в работе [8] на рис. 8 длины проникновения на эти же моменты времени имеют близкие значения, равные соответственно 1.5, 3.3, 5.1, 6.9, 8.7. Обсудим еще один случай, относящийся к изучению омического разряда в токамаке «Туман-3» в условиях быстрого ( $\sim 1 \text{ мс}$ ) адиабатического сжатия водородной плазмы [13]. Характерные значения параметров эксперимента [13] составляют  $n_e \sim 10^{13} \text{ см}^{-3}$ ,  $T_e \sim 100 - 200 \text{ эВ}$ ,  $T_i \sim 500 \text{ эВ}$ ,  $E \sim 10^{-2} \text{ В/см}$ . При этом число Кнудсена невелико  $K_N \sim 10^{-3}$ , что позволяет при оценках времени проникновения поля использовать формулу (12). В условиях эксперимента [13] из формулы (12) находим  $l \text{ (см)} \approx 10^3 \sqrt{t} \text{ (с)}$ . При  $t \sim 1 \text{ мс}$  имеем  $l \sim 30 \text{ см}$ . Большое значение глубины проникновения поля за время  $t \sim 1 \text{ мс}$  позволяет утверждать, что в условиях быстрого смещения плазменного шнура электромагнитное поле успевает проникнуть в плазму, обеспечивая возможность возбуждения ИЗТ и турбулентного нагрева ионов, наблюдавшегося в эксперименте [13].

Подводя итог обсуждению, можно утверждать, что изложенная выше сравнительная простая нелинейная теория проникновения поля в плазму с ИЗТ позволяет качественно понимать ряд наблюдаемых экспериментально зависимостей.

Авторы благодарны В. Н. Новикову за предоставление программы численного решения нелинейных уравнений диффузии.

### Список литературы

- [1] Adlam J. H., Holmes L. S. // Nuclear Fusion. 1963. Vol. 3. N 1. P. 62—74.
- [2] Дубовой Л. В., Иванов Б. А., Чернобровин В. И. // ЖЭТФ. 1970. Т. 58. Вып. 1. С. 14—25.
- [3] Дубовой Л. В., Федякова В. П. // ЖЭТФ. 1970. Т. 58. Вып. 4. С. 1168—1177.
- [4] Wharton C., Korn P., Prono D. et al. // Proc. 4<sup>th</sup> Intern. Conf. on Plasma Phys. and Contr. Fus. Res. Vienna: IAEA, 1971. Vol. 2. P. 25—36.
- [5] Wharton C. B., Korn P., Robertson S. // Phys. Rev. Lett. 1971. Vol. 27. N 8. P. 499—504.
- [6] Аранчук Л. Е., Завойский Е. К., Лин Д. Н., Рудаков Л. И. // Письма в ЖЭТФ. 1972. Т. 15. Вып. 1. С. 33—36.
- [7] Hirose A., Kawabe T., Skarsgard H. M. // Phys. Rev. Lett. 1972. Vol. 29. N 21. P. 1432—1434.
- [8] Bengtson R. D., Gentle K. W., Jancarik J. et al. // Phys. Fluids. 1975. Vol. 18. N 6. P. 710—716.
- [9] Amagishi Y., Hirose A., Piekaar H. W., Skarsgard H. M. // Proc. 6<sup>th</sup> Intern. Conf. on Plasma Phys. and Contr. Fus. Res. Vienna: IAEA, 1977. Vol. 3. P. 11—17.
- [10] Nishida Y., Hirose A., Skarsgard H. M. // Phys. Rev. Lett. 1977. Vol. 38. N 12. P. 653—656.
- [11] Kluitjer H. De., Barth C. J., Brochen H. J. B. M. et al. // Proc. 7<sup>th</sup> Intern. Conf. on Plasma Phys. and Contr. Fus. Res. Vienna: IAEA, 1978. Vol. 2. P. 639—648.
- [12] Волков Е. Д., Перепелкин Н. Ф., Супруненко В. А., Сухомлин Е. А. Коллективные явления в токонесущей плазме. Киев: Наукова думка, 1979. 186 с.
- [13] Виноградов Н. И., Йзвозчиков А. Б., Шаховец К. Г. Препринт ФТИ им. А. Ф. Иоффе. № 1177. Л., 1987. 36 с.

- [14] Sizonenko V. L., Stepanov K. N. // Nuclear Fusion. 1970. Vol. 10, N 1. P. 155—162.
- [15] Hirose A., Piekaar H. W., Skarsgard H. M. // Nuclear Fusion, 1976. Vol. 16. N 6. P. 963—969.
- [16] Брейзман Б. Н., Мирнов В. В., Рютов Д. Д. // ЖТФ. 1969. Т. 39. Вып. 10. С. 1817—1821.
- [17] Bychenkov V. Yu., Silin V. P., Uryupin S. A. // Phys. Reports. 1988. Vol. 164. N 3. P. 120—215.
- [18] Силин В. П., Урюпин С. А. // Плазменная электроника. Киев: Наукова думка, 1989. С. 1—15.

Физический институт  
им. П. Н. Лебедева АН СССР  
Москва

Поступило в Редакцию  
22 июля 1988 г.

---